

ИЗМЕНЕНИЕ КОНЦЕНТРАЦИИ ЦЕНТРОВ ПРИЛИПАНИЯ  
И ВРЕМЕНИ ЖИЗНИ НЕРАВНОВЕСНЫХ НОСИТЕЛЕЙ  
В КРЕМНИИ В ПРОЦЕССЕ ФОРМИРОВАНИЯ  
ВНУТРЕННЕГО ГЕТТЕРА.

ПОСТАДИЙНЫЙ НЕРАЗРУШАЮЩИЙ КОНТРОЛЬ  
ГЕТТЕРИРОВАНИЯ

Д.Н. Гулидов, В.И. Думбров,  
В.А. Мияев, В.А. Никитин,  
А.В. Ширков, Б.Л. Эйдельман

В процессе термообработок (ТО), создающих внутренний геттер, в кремнии могут возникать кислородные термодоноры, центры рекомбинации и уровни прилипания. В работе [1] показано, что для пластин КДБ-10, которые после различных геттерирующих ТО подверглись начальному этапу формирования интегральных схем — окислению, концентрация образующихся центров прилипания (ЦП) коррелирует с размерами и плотностью кислородных преципитатов. Известно также, что образование ЦП и изменение объемного времени жизни (ОВЖ) неравновесных носителей может существенно зависеть от режимов термического окисления. Поэтому в продолжение работы [1] необходимо было измерить эти электрофизические параметры непосредственно в ходе геттерирующих ТО. Настоящая работа позволяет вскрыть динамику образования кислородных преципитатов и центров рекомбинации.

Измерения проводились на пластинах, нарезанных из двух слитков КДБ-10 с различным содержанием кислорода и углерода (определялись методом ИК-поглощения): слиток 1 — концентрация  $[O_i] = 8 \cdot 10^{17} \text{ см}^{-3}$ , концентрация С —  $2 \cdot 10^{16} \text{ см}^{-3}$ ; слиток 2 —  $6.5 \cdot 10^{17} \text{ см}^{-3}$  и  $1.3 \cdot 10^{17} \text{ см}^{-3}$  соответственно. Слиток 1 проходил предварительную тридцатиминутную ТО при  $650^\circ \text{C}$  для удаления термодоноров. Из этих слитков были приготовлены по стандартной технологии микроэлектроники пластины толщиной  $\sim 400 \text{ мкм}$ , затем на обратную сторону некоторых пластин нанесен нарушенный слой. Подробнее о приготовлении образцов и методике измерений сообщено в [1].

В таблице приведены результаты измерений ОВЖ неравновесных носителей при низких  $\sim 10^{15} \text{ см}^{-3}$  и высоких  $\sim 10^{16} \text{ см}^{-3}$  уровнях возбуждения (соответственно  $\tau_1$  и  $\tau_2$ , точность 3%), а также концентрация ЦП в относительных единицах, определяемая по качественному изменению формы релаксационной кривой при вариации ширины возбуждающего импульса от светодиодов. Оценка концентрации в абсолютных единицах по формуле, предложенной в [1], определяет коэффициент пересчета  $\sim 10^{12} \text{ см}^{-3}$ . Отметим, что в слитке 2, обогашенном углеродом, появляется сразу два типа ЦП (соответствующие концентрации  $M_1$  и  $M_2$ ).

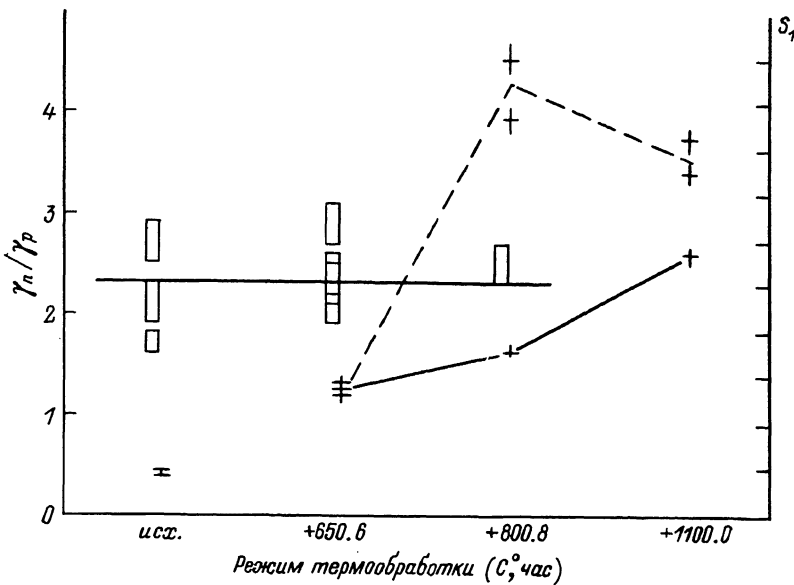
Т а б л и ц а

Изменение объемного времени жизни неравновесных носителей при низких ( $\tau_1$ ) и высоких ( $\tau_2$ ) уровнях возбуждений и концентрации центров прилипания ( $M_1$  и  $M_2$ ) в процессе формирования внутреннего геттера в пластинах с нарушенным слоем и без него, нарезанных из слитков с различным содержанием углерода (в слитке 2 концентрация С больше). Точность определения  $\tau$  - 3%.

Термообра- ботка	Номер слитка	Наруш. слой	$\tau_1$ , мкс	$\tau_2$ , мкс	$M_1$ , отн. ед.	$M_2$ , отн. ед.
исходн.	1	есть	11.0	34.1	0	0
	1	нет	12.6	34.5	0	0
	2	есть	12.2	45.4	0	0
$+650^{\circ}\text{C}$ , 6 час	1	есть	3.9	13.2	0	0
	1	нет	3.7	11.6	0	0
	2	есть	3.7	14.4	0	0
	2	нет	3.5	11.5	0	0
$+800^{\circ}\text{C}$ , 2 час	1	нет	2.8	9.9	$0.5 \pm 0.1$	0
	2	есть	-	3.8	$3.5 \pm 1.0$	$6.0 \pm 0.2$
	2	нет	-	3.3	$3.5 \pm 0.5$	$6.0 \pm 0.1$
$+1100^{\circ}\text{C}$ , 0.5 час	1	нет	-	5.8	$1.4 \pm 0.2$	0
	2	есть	-	4.0	$4.6 \pm 0.8$	$16.4 \pm 0.5$
	2	нет	-	4.4	$5.3 \pm 0.8$	$16.0 \pm 0.5$

При наличии уровней прилипания ОВЖ на низких уровнях импульсного возбуждения определялось в режиме с постоянной подсветкой. При этом часть ЦП постоянно заполнена, поэтому не может принимать участия в процессе рекомбинации. Эта часть определяется соотношением мощности источника подсветки и характеристиками ЦП, в частности их концентрацией. В связи с этим в нашем случае не удалось измерить ОВЖ при низких уровнях возбуждения при относительно большой концентрации центров прилипания (недостаточна мощность источника подсветки). Критерий верности измерения ОВЖ состоит в экспоненциальности сигнала релаксации с подсветкой.

Из соотношения времен жизни при низком и высоком (по сравнению с собственной концентрацией) уровнях возбуждения неравновесных носителей можно получить информацию о центрах рекомбинации. Оценки по формулам, предложенными в [2], определяют следующие зависимости для степени легирования  $10 \text{ Ом} \cdot \text{см}$  в кремнии  $p$ -типа: если уровень рекомбинации отстоит от краев запрещенной зоны более чем на  $0.3 \text{ эВ}$ , то определяемые этим уровнем времена жизни не зависят от положения его в запрещенной зоне, т.е.



Отношение вероятностей захвата электрона и дырки ( $\gamma_n/\gamma_p$ ) на рекомбинационный уровень (прямоугольник) и изменение концентрации центров рекомбинации  $S$  (крест) в процессе формирования внутреннего геттера. Горизонтальной линией показано среднее значение ( $\gamma_n/\gamma_p = 2.3$ ). Пунктиром показано изменение  $S$  в пластинах, нарезанных из слитка 2, сплошной линией – из слитка 1.

определяются вероятностями захвата электрона и дырки ( $\gamma_n$  и  $\gamma_p$ ) и концентрацией рекомбинационной примеси ( $S$ ). Соответствующие выражения имеют вид:  $1/(\gamma_n S) = \tau_1$ ,  $1/(\gamma_p S) = \tau_2 - \tau_1$ . На рисунке приведено вычисляемое отношение  $\gamma_n/\gamma_p$ . Видно, что значение  $\gamma_n/\gamma_p$  одинаково практически для всех образцов. Логично предположить, что во всех образцах образуется один и тот же уровень рекомбинации, тогда это соотношение можно экстраполировать и на случай, когда измерить ОВЖ при низких концентрациях возбуждения измерить не удается. Таким образом, можно проследить изменение концентрации рекомбинационной примеси от образца к образцу (рисунок). Соответствующие формулы имеют следующий вид:  
 $S = (1/\gamma_n)(1/\tau_1)$  в случае, когда возможно измерить  $\tau_1$ , и  
 $S = (1/\gamma_n)(1/\tau_2) (\gamma_n/\gamma_p + 1)$ , когда возможно измерить только  $\tau_2$ . Отношение  $\gamma_n/\gamma_p$  при этом равно 2.3 (среднее значение для образцов с малым содержанием центров прилипания). Перейти к абсолютным значениям  $S$  можно, зная вероятность захвата электрона  $\gamma_n$ . Из справочных данных можно оценить это значение –  $10^{-9}$ – $10^{-8}$  см<sup>3</sup>/с. Соответствующий коэффициент пересчета в абсолютные значения для  $S$ :  $10^{13}$ – $10^{14}$  см<sup>-3</sup>. Концентрация рекомбинационных центров изменяется в процессе ТО примерно на порядок.

Интересно отметить, что после первой ТО времена жизни и концентрации центров рекомбинации для всех образцов были одинаковыми вне зависимости от вариаций концентрации углерода и кислорода. После второй ТО величина  $S$  оказывается весьма чувствительной к этим концентрациям, в частности в образцах с большей концентрацией углерода оказывается больше и центров рекомбинации. Качественный вид изменения  $S$  в ходе термообработок также различен. Так, для образцов с малым содержанием углерода концентрация центров рекомбинации возрастает с каждой ТО, в то время как для образцов с более высоким содержанием углерода величина  $S$  в результате последней ТО уменьшается (см. рисунок).

После первой ТО образцов ЦП не наблюдается. Это можно объяснить тем, что на этой стадии процесс преципитации кислорода не привел еще к образованию петель дислокаций подобно случаю работы [1]. Однако делать вывод о связи ЦП только с петлями дислокаций на границах преципитатов на основании этого некорректно, т.к. эффективная концентрация ЦП могла быть существенно уменьшена образованием на этой стадии кислородных термодоноров. Вторая ТО вводит ЦП, причем в образцах, обогащенных углеродом, образуется сразу два уровня, концентрация каждого из которых намного больше, чем в пластинах из кремния с меньшим содержанием углерода. При этом существенного влияния нарушенного слоя на процессы преципитации не обнаружено.

#### Л и т е р а т у р а

- [1] Думбрю В.И., Гулидов Д.Н., Мильяев В.А., Никитин В.А., Степченков В.Н., Ширков А.В., Эйдельман Б.Л. О возможности оценки качества внутреннего геттера неразрушающими бесконтактными методами. — Микроэлектроника, 1988, т. 17, № 1, с. 19–23.
- [2] Рыжкин С.М. Фотоэлектрические явления в полупроводниках. М., 1963. 494 с.

Институт общей физики  
АН СССР, Москва

Поступило в Редакцию  
16 июля 1987 г.

В окончательной редакции  
12 апреля 1988 г.